

**УДК 517.9 : 621.384.8**

**Влияние краевого поля на зоны устойчивости квадрупольного масс-спектрометра. С а ч е н к о В. Д., К а й-далова М. Н., У с а ч е в а Т. В. — В кн.: Научное приборостроение. Теоретические и экспериментальные исследования. Л.: Наука, 1984, с. 34—38.**

**Рассмотрена система дифференциальных уравнений, описывающая поведение ионов в поле квадрупольного масс-спектрометра с учетом его краевого искажения в случае линейной модели; получена функция, описывающая зоны в области стабильности, оптимальные по чувствительности для прибора. Лит. — 6 назв., ил. — 2.**

## ВЛИЯНИЕ КРАЕВОГО ПОЛЯ НА ЗОНЫ УСТОЙЧИВОСТИ КВАДРУПОЛЬНОГО МАСС-СПЕКТРОМЕТРА

Теория квадрупольного масс-спектрометра, развитая в основном В. Паули [1, 2] и основанная на свойствах решений дифференциального уравнения Матье [3], предполагает постоянство потенциала поля вдоль оси  $z$ . Фактически независимость потенциала от третьей координаты справедлива только при  $z \geq d+r=R$  (рис. 1). При  $z \in [0, R]$  гиперболическое поле искажается, возникает так называемое краевое поле с неизвестным потенциалом. В литературе [4], посвященной изучению поведения ионов в квадрупольном анализаторе, наиболее распространенной является линейная модель потенциала краевого поля, т. е. предполагается, что при  $z \in [0, R]$

$$\varphi(t, x, y, z) = \varphi_0(t, x, y) z/R,$$

где  $\varphi(t, x, y, z)$  — потенциал краевого поля;  $\varphi_0(t, x, y) = (u + v \cos \omega t)(x^2 - y^2)r^{-2}$  — потенциал гиперболического поля ( $u + v \cos \omega t$  — напряжение на электродах анализатора).

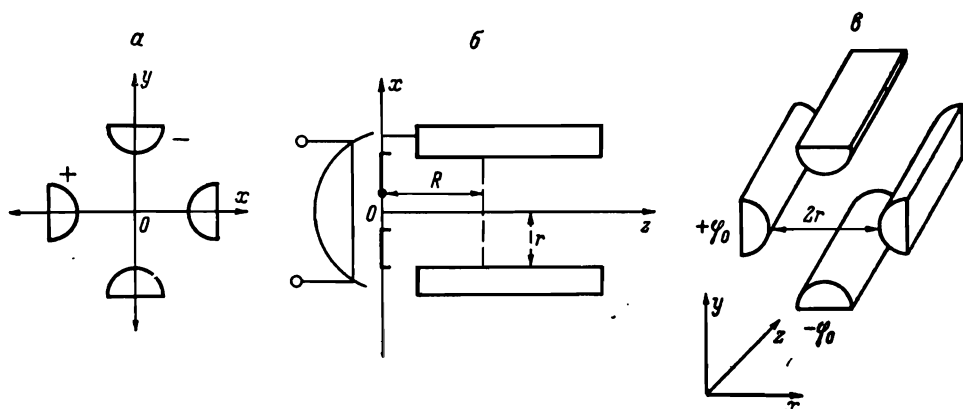


Рис. 1. Расположение электродов квадрупольного масс-спектрометра относительно осей координат.

$a$  — в плоскости  $xoy$ ;  $b$  — в плоскости  $xoz$ ;  $c$  — в пространстве.

На настоящем этапе исследования мы также принимаем линейную аппроксимацию, т. е. будем считать, что распределение потенциала поля анализатора описывается функцией

$$\bar{\varphi}(t, x, y, z) = \begin{cases} \varphi(t, x, y, z), & z \in [0, R], \\ \varphi_0(t, x, y), & z > R. \end{cases}$$

Тогда поведение заряженных частиц в поле анализатора определяется решениями следующей системы дифференциальных уравнений:

$$\left. \begin{aligned} \dot{\xi}_1 &= \xi_2, \\ \dot{\xi}_2 &= F_1(t, \xi_1, \xi_5), \\ \dot{\xi}_3 &= \xi_4, \\ \dot{\xi}_4 &= F_2(t, \xi_3, \xi_5), \\ \dot{\xi}_5 &= \xi_6, \\ \dot{\xi}_6 &= F_3(t, \xi_1, \xi_3). \end{aligned} \right\} \quad (1)$$

Здесь

$$F_1(t, \xi_1, \xi_5) = \begin{cases} x(t) \xi_1 \xi_5, & t \leq t_n \\ x(t) \xi_1, & t > t_n \end{cases} \quad F_2(t, \xi_3, \xi_5) = \begin{cases} x(t) \xi_3 \xi_5, & t \leq t_n \\ x(t) \xi_3, & t > t_n \end{cases}$$

$$F_3(t, \xi_1, \xi_3) = \begin{cases} x(t) (\xi_3^2 - \xi_1^2) / 2, & t \leq t_n \\ 0, & t > t_n \end{cases}$$

где  $x(t) = -2e(u + v \cos \omega t) (mr^2 R)^{-1}$ ,  $(\xi_1, \xi_2, \xi_3, \xi_4, \xi_5, \xi_6) = (x, \dot{x}, y, \dot{y}, z, \dot{z})$ ;  $e$  — заряд иона;  $m$  — масса иона;  $t_n$  — время пролета ионами области краевого поля.

Исследуя систему (1) и используя соотношения между параметрами прибора и краевого поля [5], мы, во-первых, получим необходимые условия, которым должны удовлетворять координаты и скорости стабильных ионов при входе в гиперболическое поле, и, во-вторых, определим оптимальные по чувствительности

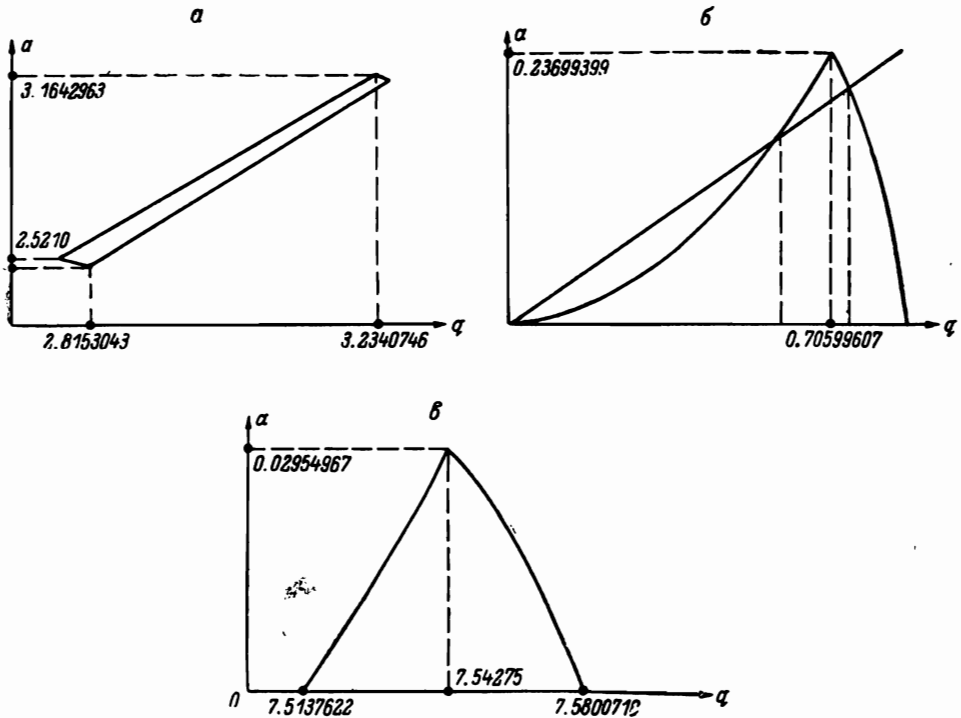


Рис. 2. Зоны стабильности: криволинейный четырехугольник (а), первый (б) и второй (в) треугольники стабильности.

области в зонах стабильности (рис. 2). Для этого рассмотрим сначала вопрос о времени пролета ионами области краевого поля. Из системы (1) следует, что ускорение ионов вдоль оси  $z$  определяется выражением

$$\left(\frac{x(t)}{2}\right) (\xi_3^2 - \xi_1^2) \equiv \left(\frac{x(t)}{2}\right) (y^2 - x^2).$$

Для того чтобы покинуть область краевого поля, заряженная частица должна пройти вдоль оси  $z$  расстояние  $R$ . Расстояние, пройденное частицей за время  $t$ , определяется по формуле

$$\int_0^t v(\tau) d\tau,$$

где  $v(t)$  — скорость частицы.

Следовательно, время пролета ионами краевой области определяется из уравнения

$$R = \int_0^{t_n} \left[ v_{0x} + \int_0^{\tau} \frac{x(\sigma)}{2} (y^2(\sigma) - x^2(\sigma)) d\sigma \right] d\tau,$$

где  $v_{0x}$  — начальная скорость иона вдоль оси  $z$ .

Вернемся теперь к системе (1). Любое ее решение может быть представлено в виде  $\xi(t) = \|\xi_0(t_n)\| \xi_0(t)$ , где  $\xi_0(t)$  — решение системы

$$\left. \begin{aligned} \dot{x} &= -(a - 2q \cos 2\xi)x, \\ \dot{y} &= (a - 2q \cos 2\xi)y, \\ \dot{z} &= 0. \end{aligned} \right\} \quad (2)$$

Здесь  $\xi = \omega t/2$ ;  $a = 8eu (mr^2\omega^2)^{-1}$ ;  $q = 4ev (mr^2\omega^2)^{-1}$ .

Норма  $\xi_0(t)$  в момент  $t_n$  равна единице. В силу сказанного, характеристические показатели решений системы (1) и (2) совпадают [6]. Поэтому для всех  $m/e$  совпадают множества значений параметров  $a$  и  $q$ , для которых характеристические показатели решений систем (1) и (2) при данных  $m/e$  равны нулю. Далее будем рассматривать движение ионов в гиперболическом поле с учетом их поведения в краевом, выясняя при этом, какие значения скоростей по осям  $x$ ,  $y$  и координат  $x$ ,  $y$  могут приобрести заряженные частицы пучка в момент входа в гиперболическое поле в зависимости от значения параметров прибора и поля. Это даст возможность определить, с какими значениями координат и скоростей вдоль осей  $x$  и  $y$  в момент  $t_n$  стабильные ионы пройдут область гиперболического поля, не разрядившись на электродах, и при каких значениях

$$a = \frac{8eu}{mr^2\omega^2}, \quad q = \frac{4ev}{mr^2\omega^2},$$

принадлежащих области стабильности, бóльшая доля стабильных ионов пройдет область гиперболического поля, не разрядившись на электродах.

Пусть  $x^{(1)}(\xi)$ ,  $x^{(2)}(\xi)$ ,  $y^{(1)}(\xi)$ ,  $y^{(2)}(\xi)$  — двумерные векторы-решения, составляющие нормальную фундаментальную матрицу системы

$$\left. \begin{aligned} \dot{x}_1 &= x_2 \\ \dot{x}_2 &= -(a - 2q \cos 2\xi)x_1 \end{aligned} \right\}, \quad \left. \begin{aligned} \dot{y}_1 &= y_2 \\ \dot{y}_2 &= (a - 2q \cos 2\xi)y_1 \end{aligned} \right\} \text{соответственно.}$$

Первые компоненты этих векторов представляются в виде [3]

$$\begin{aligned} \sum_{-\infty}^{+\infty} c_{n(x)} \cos(2n + \beta)\xi, \quad \sum_{-\infty}^{+\infty} c_{n(x)} \sin(2n + \beta)\xi, \quad \sum_{-\infty}^{+\infty} c_{n(y)} \cos(2n + \beta)\xi, \\ \sum_{-\infty}^{+\infty} c_{n(y)} \sin(2n + \beta)\xi. \end{aligned}$$

Введем следующие обозначения:

$$\alpha_1 = \rho_1 \frac{x_1^2(\xi_0) + x_2^2(\xi_0)}{W_1(\xi_0)}, \quad \alpha_2 = \rho_2 \frac{y_1^2(\xi_0) + y_2^2(\xi_0)}{W_2(\xi_0)}, \quad \rho_1 = \sum_{-\infty}^{+\infty} |c_{n(x)}|, \quad \rho_2 = \sum_{-\infty}^{+\infty} |c_{n(y)}|,$$

$$\xi_0 = \omega t_n/2;$$

$$\beta_1 = -\rho_1 \frac{4(x_1(\xi_0)x_2(\xi_0) + x_2(\xi_0)x_1(\xi_0))}{\omega^2 W_1(\xi_0)}, \quad \beta_2 = -\rho_2 \frac{4(y_1(\xi_0)y_2(\xi_0) + y_2(\xi_0)y_1(\xi_0))}{\omega^2 W_2(\xi_0)};$$

$$\gamma_1 = \rho_1 \frac{4(x_1^2(\xi_0) + x_2^2(\xi_0))}{\omega^2 W_1(\xi_0)}, \quad \gamma_2 = \rho_2 \frac{4(y_1^2(\xi_0) + y_2^2(\xi_0))}{\omega^2 W_2(\xi_0)};$$

$$W_1(\xi_0) = \det \begin{pmatrix} x_1(\xi_0) & x_2(\xi_0) \\ \dot{x}_1(\xi_0) & \dot{x}_2(\xi_0) \end{pmatrix}, \quad W_2(\xi_0) = \det \begin{pmatrix} y_1(\xi_0) & y_2(\xi_0) \\ \dot{y}_1(\xi_0) & \dot{y}_2(\xi_0) \end{pmatrix}.$$

В гиперболическом поле траектории стабильных ионов описываются функциями

$$\begin{aligned}x(\xi) &= Ax_1(\xi) + Bx_2(\xi), \\y(\xi) &= Cy_1(\xi) + Dy_2(\xi), \\z(\xi) &= v_{0z}\xi,\end{aligned}$$

где  $A = [x_0\dot{x}_2(\xi_0) - 2x_0x_2(\xi_0)\omega^{-1}]W_1^{-1}(\xi_0)$ ;  $B = [2\dot{x}_0x_1(\xi_0)\omega^{-1} - x_0\dot{x}_1(\xi_0)]W_1^{-1}(\xi_0)$ ;  $C = [y_0\dot{y}_2(\xi_0) - 2y_0y_2(\xi_0)\omega^{-1}]W_2^{-1}(\xi_0)$ ;  $D = [2\dot{y}_0y_1(\xi_0)\omega^{-1} - y_0\dot{y}_1(\xi_0)]W_2^{-1}(\xi_0)$ ;  $v_{0z}$  — начальная скорость ионов вдоль оси  $z$ .

Для того чтобы стабильный ион прошел область гиперболического поля и попал на приемник, его координаты в момент вылета из краевого поля  $x_0 = x(t_n)$ ,  $y_0 = y(t_n)$  и его скорости вдоль осей  $x$  и  $y$  в тот же момент  $\dot{x}_0 = \dot{x}(t_n)$ ,  $\dot{y}_0 = \dot{y}(t_n)$  должны удовлетворять следующим двум неравенствам:

$$\alpha_1 x_0^2 + \beta_1 x_0 \dot{x}_0 + \gamma_1 \dot{x}_0^2 < r, \quad (3)$$

$$\alpha_2 y_0^2 + \beta_2 y_0 \dot{y}_0 + \gamma_2 \dot{y}_0^2 < r. \quad (4)$$

Обозначив квадратичные формы, стоящие в левых частях этих неравенств через  $F_1(x_0, \dot{x}_0)$  и  $F_2(y_0, \dot{y}_0)$  соответственно, получим, что  $x_0, \dot{x}_0, y_0, \dot{y}_0$  должны удовлетворять следующим неравенствам:

$$\begin{aligned}|x_0| &\leq \left( \frac{\alpha_1 r}{4\alpha_1 \gamma_1 - \beta_1^2} \right)^{1/2}, & |y_0| &\leq \left( \frac{\alpha_2 r}{4\alpha_2 \gamma_2 - \beta_2^2} \right)^{1/2}, \\|\dot{x}_0| &\leq \left( \frac{\gamma_1 r}{4\alpha_1 \gamma_1 - \beta_1^2} \right)^{1/2}, & |\dot{y}_0| &\leq \left( \frac{\gamma_2 r}{4\alpha_2 \gamma_2 - \beta_2^2} \right)^{1/2}.\end{aligned}$$

Правые части указанных неравенств обозначим через  $\Psi_1, \Psi_2, \Psi_3, \Psi_4$  соответственно, а объединение областей, в которых функции  $F_1(x_0, \dot{x}_0), F_2(y_0, \dot{y}_0)$  отрицательны, через  $\theta_1$  и  $\theta_2$  соответственно и введем множества

$$\begin{aligned}\Omega_1 &= \theta_1 \cap ([0, \Psi_1] \times [0, \Psi_3]), \\ \Omega_2 &= \theta_2 \cap ([0, \Psi_2] \times [0, \Psi_4]).\end{aligned}$$

Далее следует выяснить, при каких значениях  $(a, q)$ , принадлежащих области стабильности, наибольшее количество стабильных ионов сможет достигнуть приемника. Для этого введем следующую функцию:

$$T(a, q) = \max_{\Omega_1 \times \Omega_2} [(x_0^2 + y_0^2)^{1/2} (\dot{x}_0^2 + \dot{y}_0^2)^{1/2}],$$

определенную в области стабильности.

Используя оценки координат и скоростей ионов в момент ввода в гиперболическое поле [5], получаем функцию

$$Q(a, q) = T(a, q) \left\{ \left[ V \exp \left| \int_0^{t_n} R x(\tau) \frac{\operatorname{tg} \sqrt{c} \tau}{\sqrt{c}} \right|^2 \left( \frac{\operatorname{tg}(\sqrt{c} t_n)}{\sqrt{c}} \right) \right]^{-1} \right\},$$

где  $V = \max(v_{0z}, v_{0y})$ ,  $c = 2e(u+v)(mr^2R)^{-1}$ , характеризующую долю стабильных ионов пучка, которые попадут на приемник, относительно всех стабильных ионов в пучке. Функция  $Q(a, q)$ , изменяясь в зонах стабильности, описывает области, в которых доля стабильных ионов, доходящих до приемника, наиболее существенна.

### Выводы

1. Получена формула для вычисления времени пролета ионами области краевого поля.

2. Определены необходимые условия — формулы (3), (4), которым должны удовлетворять координаты и скорости стабильных ионов при входе в гиперболическое поле, для того чтобы попасть на приемник.

3. Найдена функция  $Q(a, q)$ , определяющая оптимальные по чувствительности области в зонах стабильности.

## ЛИТЕРАТУРА

1. *Paul W.* — *Z. Phys.*, 1958, Bd 152, S. 143.
2. *Paul W.* — *Z. Naturforsch.*, 1953, 8a, S. 448.
3. *Уиттекер Е. Т., Ватсон Т. Н.* Курс современного анализа. М., 1963, т. 2.
4. *Dawson P. H., Whetten N. R.* — *Advances in Electronic and Physics*, 1969.
5. *Усачева Т. В., Кузьмин А. Ф.* — *ЖТФ*, 1982, т. 52, вып. 5, с. 950.
6. *Ляпунов А. М.* Общая задача об устойчивости движения. М.; Л., 1950.